

ЭЛЕКТРИЧЕСКИЕ
И МАГНИТНЫЕ СВОЙСТВА

УДК 537.322.1

ТЕРМОЭЛЕКТРИЧЕСКИЕ СВОЙСТВА РЕДКОЗЕМЕЛЬНЫХ СПЛАВОВ

© 2013 г. В. Н. Никифоров*, А. В. Морозкин*, В. Ю. Ирхин**

*МГУ им. М.В. Ломоносова, физический факультет, 119991 Москва, ГСП-1, Ленинские горы, д.1, стр. 2

**Институт физики металлов УрО РАН, 620990 Екатеринбург, ул. С. Ковалевской, 18

e-mail: Valentin.Irkhin@imp.uran.ru

Поступила в редакцию 28.12.2012 г.;
в окончательном варианте – 19.02.2013 г.

Проведены измерения электросопротивления, теплопроводности и термоэлектродвижущей силы для большого числа вновь синтезированных металлических соединений и сплавов простых, переходных и редкоземельных элементов. Максимальные значения параметра термоэлектрической добротности ZT для представленных систем составляют при комнатной температуре около 7%. Обсуждаются температурные зависимости сопротивления и термоэдс. Особое внимание удалено возможным проявлениям эффекта Кондо и промежуточной валентности, в том числе в системах на основе силицидов и никелидов церия.

Ключевые слова: кинетические свойства, термоэдс, интерметаллические соединения, решетки Кондо.

DOI: 10.7868/S0015323013080081

1. ВВЕДЕНИЕ

Термоэлектрические материалы представляют большой интерес благодаря их способности использовать отработанное тепло для выработки электроэнергии и выступают в качестве твердотельных охладителей, основанных на эффекте Пельтье [1]. Устройства на основе этих материалов имеют целый ряд преимуществ: низкий уровень шума, высокая надежность, отсутствие движущихся частей, длительный период эксплуатации. Тем не менее, эффективность преобразования энергии в термоэлектрических генераторах в настоящее время недостаточна. Причиной этого являются низкие термоэлектрические параметры большинства обычных термоэлектрических материалов.

Эффективность термоэлектрического материала оценивается величиной безразмерного параметра термоэлектрической добротности $ZT = S^2 \sigma T / \kappa$, где S – коэффициент Зеебека (термоэдс), σ – электропроводность и κ – теплопроводность. Материал, имеющий большое значение ZT (скажем, порядка единицы), обладает лучшей термоэлектрической эффективностью. Высокопроизводительные термоэлектрические материалы должны иметь большую термоэдс, высокую электропроводность и низкую теплопроводность.

С другой стороны, закон Видемана-Франца ограничивает отношение электронного вклада в теплопроводность и электропроводности металлов. Это отношение должно быть пропорционально температуре: $\kappa / \sigma = LT$. Закон Видемана-

Франца, как правило, выполняется при высоких и низких (например, несколько Кельвинов) температурах, но может нарушаться при промежуточных температурах [2]. Например, для вырожденных полупроводников число Лоренца L проявляет заметную зависимость от параметров системы: размерности, силы межатомного взаимодействия и положение уровня Ферми. Число Лоренца может быть уменьшено путем манипулирования плотностью электронных состояний и варьированием числа примесей, толщины слоя в сверхрешетках и композиционных материалах с коррелированными носителями тока [3].

Определенных особенностей можно ожидать и в случае редкоземельных систем, специфика которых связана с влиянием $4f$ -оболочки на электронный спектр, а также поведением тяжелых атомов в решетке с легкими атомами.

Для увеличения ZT можно пытаться снизить решеточную теплопроводность. В частности, в материалах с кристаллической структурой типа скutterита удается (без существенного нарушения электронной проводимости) увеличить расстояние фононов за счет особого “дребезжания” (rattle) редкоземельных атомов, внедренных в пустоты решетки [4, 5].

Другой путь состоит в увеличении коэффициента Зеебека и металлической электропроводности за счет оптимизации плотности электронных состояний вблизи энергии Ферми. Это также может достигаться за счет присутствия редкоземель-

ных атомов, проявляющих нестабильную валентность и эффект Кондо [6].

Как правило, системы, характеризуемые малыми масштабами низкоэнергетического электронного спектра, демонстрируют увеличенные значения S . В частности, системы с тяжелыми фермионами, которые имеют резкие особенности в плотности состояний за счет гибридизации между электронами проводимости и f -электронами, рассматриваются в качестве кандидатов для низкотемпературных термоэлектрических приложений [7, 8]. Большие значения термоэдс при низких температурах были предсказаны и наблюдались также в кондовских изоляторах типа $\text{Ce}_3\text{Pt}_3\text{Sb}_4$ [9].

В настоящей работе мы обсуждаем экспериментальные данные по термоэлектрическим свойствам широкого круга редкоземельных соединений и сплавов, в том числе новых.

2. ЭКСПЕРИМЕНТ

Нами были синтезированы и исследованы большое число редкоземельных соединений и сплавов, содержащих атомы простых и переходных элементов (см. табл. 1–4).

Соединения получались в электрической дуговой печи в атмосфере аргона с помощью тугоплавкого вольфрамового электродом и водяным охлаждением медного подноса. Качество образцов определялось перед физическими измерениями с помощью рентгеновского фазового анализа и микрозондового рентгеновского анализа. Образцы в форме прямоугольного параллелепипеда (их характерные размеры приведены на рисунках) были вырезаны из слитков проволокой диаметром 10 мкм с помощью электроэррозионного станка.

Электрическое сопротивление вдоль длинной оси образца измерялось в стандартной четырехконтактной геометрии с использованием постоянного тока 0.8 мА (мы не обнаружили эффекта перегрева образца при такой величине тока). Для присоединения медных проводов (0.14 мм в диаметре) к образцу были сделаны электрические контакты с использованием низкотемпературной проводящей эпоксидной смолы. Сопротивление контакта было менее 1 Ом. Чтобы исключить паразитные термоэдс в потенциальном контуре, изменялось направление тока. Типичное напряжение на образце составляло несколько микровольт, а паразитная термоэдс не превышала 10 мкВ. Для того чтобы уменьшить случайную погрешность эксперимента, применялось усреднение по 36 последовательным показаниям. Ошибка в определении абсолютного значения электрического сопротивления составляла менее 20%.

Коэффициент Зеебека (термоэдс при нулевом электрическом токе) был измерен с отключением

образца от источника тока. Тепловой поток в образце создавался электрическим нагревателем. Нагреватель, изготовленный из чипа-резистора сопротивлением 820 Ом, был прикреплен к образцу с проводящей эпоксидной смолой, но не применялся в качестве электрического контакта с образцом. Термоиндукционное напряжение E измерялось через те же потенциальные контакты, используемые в измерениях сопротивления. Переход температур dT между этими контактами измерялся дифференциальной манганин-константановой термопарой, которая была приклесена к медным выводам лаком GE7031. Эта термопара была сделана из тонкой проволоки из манганина (7 мкм) и константана (30 мкм). Коэффициент Зеебека S рассчитывался как отношение E/dT . Неопределенность значения S оценивается как менее 10%.

Теплопроводность измерялась методом продольного устойчивого состояния. Переход температуры по образцу создавался электрическим нагревателем. Образец был зажат в другой конец медного основания. Потери тепла от образца были минимизированы путем вакуумирования камеры. Температура медного основания измерялась с помощью термопары хромель-константан. Падение температуры вдоль образца измерялось дифференциальной манганин-константановой термопарой. И манганин, и константан имеют низкие значения теплопроводности и, следовательно, эта термопара не нарушает ход теплового потока в образце. Величина перехода температур составляла 0.5–2 К. Случайная ошибка в величине теплопроводности составляла менее 3%. Систематическая ошибка, обусловленная ошибкой в определении размеров образца, неравномерностью его формы, конечным размером контакта между термопарой и образцом и неопределенностью в величине теплового потока через образец, была меньше 20%.

3. ОБСУЖДЕНИЕ РЕЗУЛЬТАТОВ

Результаты измерений кинетических свойств приведены в табл. 1–4. В ходе измерений были выявлены и сформулированы следующие эмпирические “структурные” правила, справедливые для большинства исследованных соединений и сплавов:

а. Упорядочение по сравнению с начальной элементарной ячейкой (изменение симметрии) приводит к увеличению термоэдс и электросопротивления.

б. Внедрение небольшого количества других атомов в элементарную ячейку с упорядочением (упорядоченное внедрение атомов без изменения симметрии элементарной ячейки) приводит к увеличению термоэдс и снижению сопротивления.

Таблица 1. Фазовый состав, структура, параметры решетки a , b и c (нм) сплавов и их твердых растворов. Кинетические свойства: электросопротивление ρ ($\mu\text{Ohm m}$), термод δ S ($\mu\text{V/K}$), теплопроводность κ (W/m K) и параметр термоэлектрической добродности ZT при 300 К. Параметр Видемана–Франца определен как $WF = \rho\kappa/\gamma_{WF}^2 300$, $\gamma_{WF} = (\pi^2/3)(k_B/e)^2 (k_B/e)^2$ (k_B – постоянная Больцмана, e – заряд электрона)

Сплав (образец)	Доля по массе	Фаза	Структура	a	b	c	S	ρ	κ	WF	ZT
CeCoSi ₃	0.80	Ce ₂₀ Co ₁₉ Si ₆₀	BaNiSn ₃	0.41218(6)			0.9534(2)	-34.6	2.1	9.1	2.61
	0.07	Co ₃₃ Si ₆₆	CaF ₂	0.5348(9)			0.9534(3)	0.4139(3)			0.018
	0.13	Ce ₂₅ Co ₁₉ Si ₅₆	CeNiSi ₂	0.4122(3)	1.6391(9)		0.9531(1)	-37.5	1.5	16.6	3.4
CeCo _{0.8} Ni _{0.2} Si ₃	0.73	Ce ₂₁ Co ₁₆ Ni ₄ Si ₅₉	BaNiSn ₃	0.4139(5)			0.9531(1)	-37.5	1.5	16.6	3.4
	0.08	Co ₂₉ Ni ₄ Si ₆₇	CaF ₂	0.5355(6)			0.9545(1)	0.4070(1)			0.017
	0.19	Ce ₂₅ Co ₁₅ Ni ₅ Si ₅₄	CeNiSi ₂	0.4149(2)	1.6465(1)		0.9545(1)	-36.9	0.91	18.8	2.33
CeCo _{0.8} Cu _{0.2} Si ₃	0.90	Ce ₂₂ Co ₁₅ Cu ₃ Si ₅₉	BaNiSn ₃	0.41307(4)			0.9545(4)	0.4175(4)			0.024
	0.03	Ce ₃₃ Co ₂ Cu ₉ Si ₅₆	CeNiSi ₂	0.4145(4)	1.6337(13)		0.9545(4)	-35.2	2.27	20.2	6.26
	0.05	Si ₉₇	C	0.5416(8)			0.9545(2)	-35.2	2.27	20.2	6.26
CeCoSi ₃	0.73	Ce ₂₁ Co ₃ Cu ₃₃ Si ₄₃	CeGa ₂ Al ₂				0.9545(2)	-35.2	2.27	20.2	6.26
	0.10	CeCoSi ₃	BaNiSn ₃	0.4130(1)			0.9545(2)	-35.2	2.27	20.2	6.26
	0.17	CoSi ₂	CaF ₂	0.5355(5)			0.9545(2)	-35.2	2.27	20.2	6.26
CeCoSi _{1.5} Ge _{1.5}	0.98	CeCoSi _{1.5} Ge _{1.5}	CeNiSi ₂	0.4121(3)	1.6480(9)		0.9545(2)	-35.2	2.27	20.2	6.26
	0.02	CeSi _{2-x} Ge _x	BaNiSn ₃	0.4220(1)			0.9545(2)	-35.2	2.27	20.2	6.26
Ce _{0.5} Y _{0.5} CoSi ₃	0.78	Y ₁₀ Ce ₁₀ Co ₂₀ Si ₆₀	ThSi ₂	0.4258(4)			0.9545(2)	-35.2	2.27	20.2	6.26
	0.05	Co ₃₃ Si ₆₆	BaNiSn ₃	0.40947(4)			0.9545(2)	-35.2	2.27	20.2	6.26
	0.14	Y ₁₃ Ce ₁₂ Co ₂₀ Si ₅₅	CaF ₂	0.5358(7)			0.9545(2)	-35.2	2.27	20.2	6.26
	0.03	Si ₉₅	CeNiSi ₂	0.4065(2)	1.6402(6)		0.9545(2)	-35.2	2.27	20.2	6.26
Ce _{0.5} Y _{0.5} CoSi ₃ ^{HP}	0.94	Ce ₁₀ Y ₁₂ Co ₁₈ Si ₆₀	BaNiSn ₃	0.40897(3)	0.95189(8)		0.9545(2)	-35.2	2.27	20.2	6.26
	0.04	Co ₃₂ Si ₆₈	CaF ₂	0.5348(6)			0.9545(2)	-35.2	2.27	20.2	6.26
CeSiGe	1.00	Ce ₄₁ Si ₂₇ Ge ₃₂	ThSi ₂	0.4243(1)			0.9545(2)	-35.2	2.27	20.2	6.26
	0.95	Si ₉₅	C	0.4218(1)			0.9545(2)	-35.2	2.27	20.2	6.26
CeSi _{1.6} Ge _{0.4}	1.00	S ₇₀ Ge ₃₀	ThSi ₂	0.4229(1)			0.9545(2)	-35.2	2.27	20.2	6.26
	0.92	Ce ₃₇ Si ₂₈ Ge ₃₅	C	0.4229(1)			0.9545(2)	-35.2	2.27	20.2	6.26
	0.08	Ce ₅₅ Si ₃₉ Ge ₇	FeB	0.8277(5)			0.9545(2)	-35.2	2.27	20.2	6.26
CeSi ₂ ^{HP}		Ce ₃₄ Si ₆₇	ThSi ₂	0.41711(5)			0.9545(2)	-35.2	2.27	20.2	6.26
Ce _{0.5} Y _{0.5} Si ₂ ^{HP}	0.95	Ce ₁₈ Y ₁₆ Si ₆	ThSi ₂	0.41219(4)			0.9545(2)	-35.2	2.27	20.2	6.26
	0.05	Si ₉₉	C				0.9545(2)	-35.2	2.27	20.2	6.26

^{SC} Проводимость полупроводникового типа. ^{HP} Образец высокой чистоты.

Таблица 2. Фазовый состав, структура, параметры решетки и кинетические свойства твердых растворов типа NaZn_{13}

Сплав (образец)	Доля по массе	Фаза	Структура	a	c	S	ρ	κ	WF	ZT
$\text{Ce}_{0.2}\text{La}_{0.8}\text{Co}_{12}\text{Si}$ (3Q/N93 LCCI13)	0.89	$\text{Ce}_1\text{La}_8\text{Co}_{84}\text{Si}_8$	NaZn_{13}	1.1285(2)	15.0	0.64	21.3	1.86	4.95×10^{-3}	
$\text{LaCo}_{10}\text{Ni}_2\text{Si}$ (5Q/N26 LCNI13)	0.11	$\text{Ce}_2\text{Co}_{17}$	$\text{Th}_2\text{Zn}_{17}$	0.8350(9)	1.221(1)					
$\text{LaCo}_{10}\text{Ni}_2\text{Si}$ (5Q/N26 LCNI13)	0.91	$\text{La}_7\text{Co}_{72}\text{Ni}_{13}\text{Si}_9$	NaZn_{13}	1.1292(2)	15.0	0.16SC*	16.2	0.35		0.026
$\text{LaCo}_{10}\text{Ni}_2\text{Si}$ (5Q/N26 LCNI13)	0.05	$\text{La}_{15}\text{Co}_{42}\text{Ni}_{36}\text{Si}_8$	CaCu_5	0.5028(4)	0.3987(3)					
$\text{LaCo}_{10}\text{Ni}_2\text{Si}$ (5Q/N26 LCNI13)	0.04	$\text{Co}_{87}\text{Ni}^{10}$	Mg	0.2507	0.4070					
$\text{LaCo}_{10}\text{Ni}_2\text{Si}$ (5Q/N26 LCNI13)	0.91	$\text{La}_7\text{Co}_{72}\text{Ni}_{13}\text{Si}_9$	NaZn_{13}	1.1292(2)	14.2	0.67	18.8	1.72		4.8×10^{-3}
$\text{LaCo}_{10}\text{Fe}_2\text{Si}$ (6Q/N48 LCFI13)	0.05	$\text{La}_{15}\text{Co}_{42}\text{Ni}_{36}\text{Si}_8$	CaCu_5	0.5028(4)	0.3987(3)					
$\text{LaCo}_{10}\text{Fe}_2\text{Si}$ (6Q/N48 LCFI13)	0.04	$\text{Co}_{87}\text{Ni}^{10}$	Mg	0.2507	0.4070					
$\text{LaCo}_{10}\text{Fe}_2\text{Si}$ (6Q/N48 LCFI13)	0.97	$\text{La}_8\text{Co}_7\text{Fe}_{13}\text{Si}_9$	NaZn_{13}	1.1350(1)	14.0	0.69	18.9	1.78		4.5×10^{-3}
$\text{LaCo}_{10}\text{Fe}_2\text{Si}$ (6Q/N48 LCFI13)	0.02	$\text{Co}_{68}\text{Fe}_{32}$	W	0.2835(4)						
$\text{LaCo}_{10}\text{Cu}_2\text{Si}$ (6Q/N58 LCPI13)	0.65	$\text{La}_{25}\text{Co}_{44}\text{Fe}_5\text{Si}_{26}$	x	NaZn_{13}	1.1290(6)	14.0	0.602	19.6	1.61	
$\text{LaCo}_{10}\text{Cu}_2\text{Si}$ (6Q/N58 LCPI13)	0.26	$\text{La}_7\text{Co}_{76}\text{Cu}_5\text{Si}_{11}$	Mg	0.2500(3)	0.4066(6)					
$\text{Ce}_{0.05}\text{La}_{0.95}\text{Co}_{10}\text{Ni}_2\text{Si}$ (6Q/N55 CLCN113D)	0.09	$\text{La}_{16}\text{Co}_{20}\text{Cu}_{64}$	CaCu_5	1.1290(2)	0.4006(4)					
$\text{Ce}_{0.05}\text{La}_{0.95}\text{Co}_{10}\text{Ni}_2\text{Si}$ (6Q/N55 CLCN113D)	0.91	$\text{Ce}_2\text{La}_7\text{Co}_{71}\text{Ni}_{14}\text{Si}_8$	NaZn_{13}	0.4966(5)	0.4069(10)					
$\text{Ce}_{0.05}\text{La}_{0.95}\text{Co}_{10}\text{Ni}_2\text{Si}$ (6Q/N55 CLCN113D)	0.05	$\text{Ce}_3\text{La}_9\text{Co}_{59}\text{Ni}_{23}\text{Si}_8\text{Co}_{99}$	CaCu_5	0.2507(9)						
$\text{Y}_{0.05}\text{La}_{0.95}\text{Co}_{10}\text{Ni}_2\text{Si}$ (6Q/N56 YLCNI13)	0.04	$\text{Y}_{0.2}\text{La}_7\text{Co}_{71}\text{Ni}_{14}\text{Si}_8$	Mg	1.1301(2)	12.8	0.72	17.2	1.69		4.0×10^{-3}
$\text{Y}_{0.05}\text{La}_{0.95}\text{Co}_{10}\text{Ni}_2\text{Si}$ (6Q/N57 MLCNI13)	0.93	$\text{Y}_5\text{La}_7\text{Co}_{59}\text{Ni}_{23}\text{Si}_7$	NaZn_{13}	1.1300(2)	0.4000(5)					
$\text{Mg}_{0.05}\text{La}_{0.95}\text{Co}_{10}\text{Ni}_2\text{Si}$ (6Q/N57 MLCNI13)	0.89	$\text{Mg}_{0.2}\text{La}_7\text{Co}_{71}\text{Ni}_{13}\text{Si}_8$	Mg	0.5014(6)	0.4070(9)					
$\text{Mg}_{0.05}\text{La}_{0.95}\text{Co}_{10}\text{Ni}_2\text{Si}$ (6Q/N57 MLCNI13)	0.04	$\text{Mg}_{0.2}\text{La}_{14}\text{Co}_{46}\text{Ni}_{33}\text{Si}_7$	CaCu_5	0.2507(9)						
$\text{Ce}_{0.05}\text{La}_{0.95}\text{Co}_{10}\text{Fe}_2\text{Si}$ (6Q/N49 CLCFI13)	0.07	$\text{Ce}_{0.2}\text{La}_7\text{Co}_{71}\text{Fe}_{13}\text{Si}_8$	Mg	1.1323(2)	13.8	0.742	15.8	1.6		4.9×10^{-3}
$\text{Y}_{0.05}\text{La}_{0.95}\text{Co}_{10}\text{Fe}_2\text{Si}$ (6Q/N50 YLCFI13)	0.06	$\text{Y}_{0.1}\text{La}_7\text{Co}_{71}\text{Fe}_{14}\text{Si}_8\text{Y}_3$	NaZn_{13}	0.2835(5)						
$\text{Mg}_{0.05}\text{La}_{0.95}\text{Co}_{10}\text{Fe}_2\text{Si}$ (6Q/N51 MLCFI13)	0.98	$\text{La}_5\text{Co}_7\text{Fe}_{15}\text{Si}_6$	W	1.1323(2)						
$\text{Mg}_{0.05}\text{La}_{0.95}\text{Co}_{10}\text{Fe}_2\text{Si}$ (6Q/N51 MLCFI13)	0.02	$\text{Mg}_{0.2}\text{La}_7\text{Co}_{71}\text{Fe}_{14}\text{Si}_8\text{x}$	NaZn_{13}	0.2835(5)	14.6	0.642	18.0	1.58		5.5×10^{-3}
$\text{Ce}_{0.05}\text{La}_{0.95}\text{Co}_{10}\text{Mn}_2\text{Si}$ (6Q/N52 CLCM113)	0.10	$\text{Ce}_{0.2}\text{La}_7\text{Co}_{71}\text{Mn}_{14}\text{Si}_8$	Mg	0.2649(2)	0.4252(3)					
$\text{Ce}_{0.05}\text{La}_{0.95}\text{Co}_{10}\text{Mn}_2\text{Si}$ (6Q/N52 CLCM113)	0.93	$\text{La}_7\text{Co}_{69}\text{Mn}_{22}\text{Co}_{74}\text{Mn}_{24}$	NaZn_{13}	1.1369(2)						
$\text{Y}_{0.05}\text{La}_{0.95}\text{Co}_{10}\text{Mn}_2\text{Si}$ (6Q/N53 YLCM113)	0.06	$\text{Y}_{0.1}\text{La}_7\text{Co}_{71}\text{Mn}_{14}\text{Si}_8$	ThMn_{12}	0.8447(5)						
$\text{Y}_{0.05}\text{La}_{0.95}\text{Co}_{10}\text{Mn}_2\text{Si}$ (6Q/N53 YLCM113)	0.94	$\text{Y}_3\text{La}_6\text{Co}_{65}\text{Mn}_{20}\text{Si}_7$	NaZn_{13}	0.2806(9)						
$\text{Mg}_{0.05}\text{La}_{0.95}\text{Co}_{10}\text{Mn}_2\text{Si}$ (6Q/N54 MLCMI13)	0.02	$\text{Y}_3\text{La}_6\text{Co}_{68}\text{Mn}_{22}$	CaCu_5	1.1379(2)	0.4216(5)					
$\text{Mg}_{0.05}\text{La}_{0.95}\text{Co}_{10}\text{Mn}_2\text{Si}$ (6Q/N54 MLCMI13)	0.96	$\text{Mg}_{0.2}\text{La}_8\text{Co}_{73}\text{Mn}_{10}\text{Si}_8$	NaZn_{13}	0.4735(7)						
$\text{CeCu}_6\text{MnAl}_6$ (6Q/N99 CPMA13)	0.02	$\text{Co}_{76}\text{Mn}_{22}\text{x}$	W	0.2896(8)						
$\text{CeCu}_6\text{MnAl}_6$ (6Q/N99 CPMA13)	1.00	$\text{Ce}_7\text{Cu}_{48}\text{Mn}_2\text{Al}_{43}$	ThMn_{12}	0.8459(9)	4.62	1.13	12.2	1.88		4.6×10^{-4}
$\text{CeCu}_6\text{MnAl}_6$ (6Q/N99 CPMA13)		$\text{Ce}_7\text{Cu}_{45}\text{Mn}_5\text{Al}_{43}$	NaZn_{13}	1.1815(2)	11.0	2.2SC	10.1	3.03		1.6×10^{-3}

Таблица 3. Фазовый состав, структура, параметры решетки и кинетические свойства твердых растворов $R_xR'_{1-x}T_yNi_{1-y}Sb_zX_{1-z}$ ($R, R' = Y, Ce, Ce; T =$ переходный металл)

Сплав (образец)	Доля по массе	Фаза	Структура	a	c	S	ρ	κ	WF	ZT
$Ce_{0.75}Y_{0.25}NiSb$ (5Q/N6 CYNSb1C)	0.90	CeNiSb $Ce_{20}Y_{10}Ni_{32}Sb_{32}$	InNi ₂	0.4395	0.8258				4.57	9.0×10^{-4}
$Ce_{0.5}Y_{0.5}NiSb$ (3Q/N97 CYNSb1)	0.10	$Ce_{20}Y_{14}Ni_{19}Sb_{39}$	InNi ₂ MgAgAs	0.4384(1) 0.6402(2)	0.8039(1)	10.0	5.4	6.2		
$Ce_{0.5}Y_{0.5}NiSb$ (5Q/N5 CYNSb1B)	0.93	$Ce_{17}Y_{11}Ni_{35}Sb_{37}$	CaBe ₂ Ge ₂							
$Ce_{0.5}Y_{0.5}NiSb$ HP (8Q/142 40T)	0.07	$Ce_{18}Y_{17}Ni_{32}Sb_{33}$	InNi ₂	0.4374(1)	0.7792(1)	-53.2	1.66	11.0	2.49	0.0465
$Ce_{0.5}Y_{0.5}NiSb$ HP (8Q/142 40T)	~0.70	$Ce_{33}Y_{17}Sb_{50}$	NaCl	0.6375(3)						
$Ce_{0.5}Y_{0.5}NiSb$ HP (8Q/142 40T)		$Ce_{25}Y_{22}Ni_{21}Sb_{28}$	MgAgAs	0.6343(2)						
$Ce_{0.5}Y_{0.5}NiSb$ HP (8Q/142 40T)		$Ce_{25}Y_{22}Ni_{13}Sb_{41}$	MgAgAs							
$Ce_{0.5}Y_{0.5}NiSb$ HP (8Q/142 40T)		$Ce_2Y_{22}Ni_{77}$	CaCu ₅							
$Ce_{0.5}Y_{0.5}NiSb$ HP (8Q/142 40T)		$Ce_{34}Y_{13}Ni_{10}Sb_{43}$	Th ₃ P ₄							
$Ce_{0.5}Y_{0.5}NiSb$ HP (8Q/142 40T)		$Ce_{17}Y_{17}Ni_{33}Sb_{33}$	InNi ₂	0.4380(1)	0.7789(2)	-10.5	6.72	6.3	5.78	7.8×10^{-4}
$Ce_{0.5}Y_{0.5}NiSb$ HP (8Q/142 40T)	0.60	$Ce_{18}Y_{22}Ni_{22}Sb_{38}$	MgAgAs	0.6368(2)						
$Ce_{0.5}Y_{0.5}NiSb$ HP (8Q/142 40T)	0.27	$Ce_5Y_{14}Ni_{80}$	CaCu ₅	0.5189(6)	0.3788(3)					
$Ce_{0.5}Y_{0.5}NiSb$ HP (8Q/142 40T)	0.13	$Ce_{18}Y_{18}Ni_{32}Sb_{32}$	InNi ₂	0.4372(2)	0.7821(2)	-22.8	48.25	2.45	16.1	1.3×10^{-3}
$Ce_{0.5}Y_{0.5}NiSb$ HP (8Q/142 40T)	0.98	$Ce_{14}Y_{27}Ni_{20}Sb_{39}$	MgAgAs	0.6335(7)						
$Ce_{0.5}Y_{0.5}NiSb$ HP (8Q/142 40T)	0.02	$Ce_{10}Y_{26}Ni_{32}Sb_{32}$	InNi ₂	0.4358(2)	0.7626(2)	-52.6	9.99 sc	5.7	7.77	0.015
$Ce_{0.5}Y_{0.5}NiSb$ HP (8Q/142 40T)	0.70	$Ce_{12}Y_{13}Ni_{42}Sb_{35}$	MgAgAs	0.6328(2)						
$Ce_{0.5}Y_{0.5}NiSb$ HP (8Q/142 40T)	0.30	$CaBe_2Ge_2$	MgAgAs	0.6307(1)						
$Ce_{0.5}Y_{0.5}NiSb$ HP (8Q/142 40T)		$Ce_5Y_{31}Ni_{30}Sb_{35}$	x		-19.0	7.9 sc	6.25	6.74	2.2 $\times 10^{-3}$	
$Ce_{0.5}Y_{0.5}NiSb$ HP (8Q/142 40T)		$Ce_4Y_{21}Ni_{48}Sb_{28}$	MgAgAs	0.6276(1)						
$Ce_{0.5}Y_{0.5}NiSb$ HP (8Q/142 40T)		$Yb_6Y_{31}Ni_{29}Sb_{34}$	CaBe ₂ Ge ₂							
$Ce_{0.5}Y_{0.5}NiSb$ HP (8Q/142 40T)		$Yb_7Y_{17}Ni_{41}Sb_{51}$								

Таблица 3. Окончание

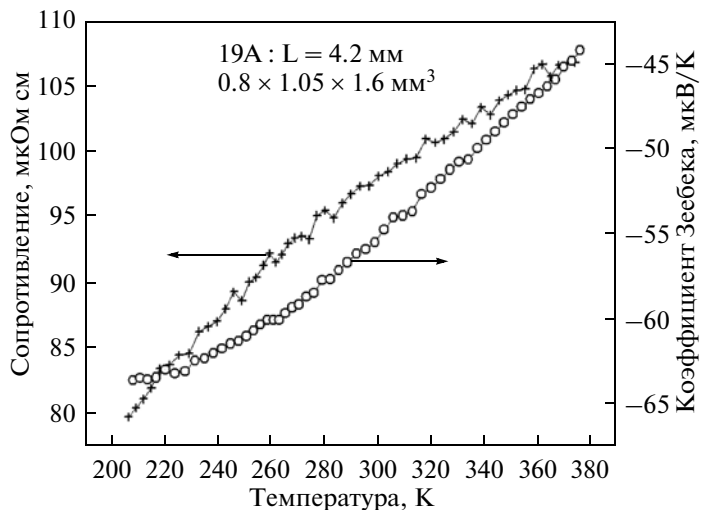
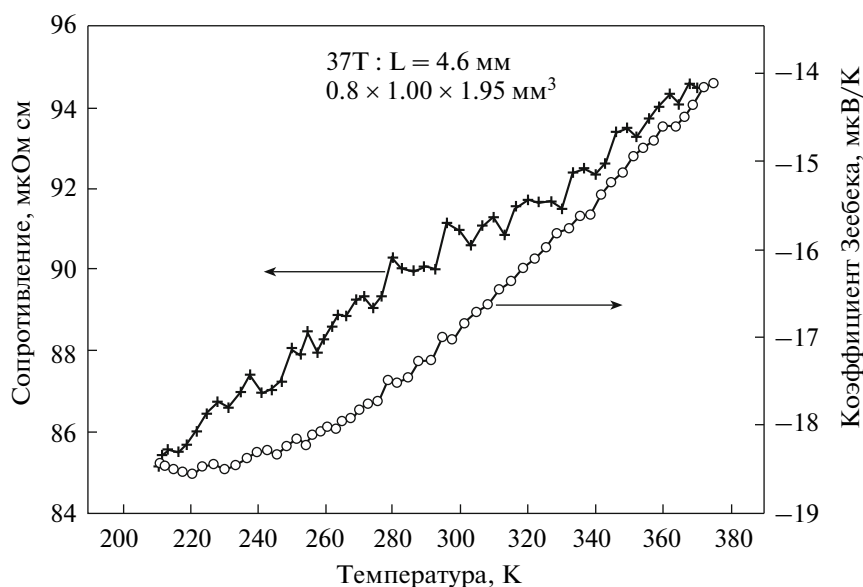
Сплав (образец)	Доля по массе	Фаза	Структура	<i>a</i>	<i>c</i>	<i>S</i>	ρ	κ	WF	ZT
$Yb_{0.5}Y_{0.5}NiSb$	0.64	$Yb_{12}Y_{28}Ni_{24}Sb_{37}$	MgAgAs	0.6255(1)	0.9682(3)	-5.0	1.88	9.5	2.44	4.2×10^{-4}
(4Q/N149 YbYNiSb1)	0.35	$Yb_{11}Y_{12}Ni_{41}Sb_{37}$	CaBe ₂ Ge ₂	0.4215(1)						
$YbCu_2Sb_2$		$Yb_{26}Cu_{38}Sb_{38}$	AlB ₂	0.4450(1)	0.3989(1)	-1.6	1.4	13.0	2.48	4.2×10^{-5}
(4Q/N132 YbPSb122A)	0.77	Cu ₆₇ Sb ₃₃	NiAs	0.4000(2)	0.5153(2)					
	0.14	Cu	Cu	0.3611(2)						
	0.09		InNi ₂	0.4377(1)	0.7816(2)	-24.7	4.7	6.5	4.17	6.0×10^{-3}
$Ce_{0.5}Y_{0.5}Ni_{0.99}Cu_{0.01}Sb$	0.71	$Ce_{10}Y_{18}Ni_{33}Cu_1Sb_{32}$	MgAgAs	0.6371(2)						
(6Q/N63 CYNPSb4)	0.29	<i>x</i>	<i>x</i>							
$Ce_{0.5}Y_{0.5}Ni_{0.95}Cu_{0.05}Sb$	0.89	$Ce_{17}Y_{18}Ni_{32}Cu_2Ni_{32}Sb_{33}$	InNi ₂	0.4370(1)	0.7814(2)	-18.1	5.17	0.42	0.30	0.045
(5Q/N8 YCNPSb1)	0.11	$Ce_{17}Y_{21}Ni_{26}Sb_{36}$	MgAgAs	0.6364(3)						
$Ce_{0.5}La_{0.5}NiSb$	0.84	$Ce_{15}Y_8Ni_{20}Cu_4Sb_{33}$	ZrCuSi ₂							
(5Q/N7 LCNSb1)	0.06	$La_{17}Ce_{17}Ni_{32}Sb_{35}$	InNi ₂	0.4394(1)	0.8307(2)	-3.85	7.1	4.48	4.34	1.4×10^{-4}
	0.10	$La_{23}Ce_{22}Ni_{10}Sb_{36}$	MgAgAs	0.6480(2)						
		$La_9Ce_{12}Ni_{43}Sb_{36}$	ZrCuSi ₂	0.4334(2)	1.0113(7)					
$Ce_{0.5}Y_{0.5}NiSb_{0.5}Sn_{0.5}$	0.77	$Ce_{16}Y_{18}Ni_{33}Sb_{13}Sn_{20}$	InNi ₂	0.4428(2)	0.7389(4)	-6.6	3.0	7.5	3.07	5.8×10^{-4}
(5Q/N15 CYNSbSn1)	0.23	$Ce_{19}Y_{20}Ni_{24}Sb_{34}Sn_2$	MgAgAs	0.6371(2)						
		$Ce_{10}Y_6Ni_{65}Sn_{19}$	<i>x</i>							
		$Ce_{20}Y_{21}Ni_{19}Sb_{22}Bi_{18}$	MgAgAs	0.6401(2)						
$Ce_{0.5}Y_{0.5}NiSb_{0.5}Bi_{0.5}$	0.62		CaCu ₅	0.4896(3)	0.3975(2)					
(5Q/N4 CYNSbBi1A)	0.38	$Ce_6Y_{15}Ni_{74}Sb_5Bi_2$	InNi ₂	0.4377(2)	0.7831(2)	-36.8	2.42	7.7	2.54	0.022
$Ce_{0.5}Y_{0.5}NiSb_{0.8}Bi_{0.2}$	0.77	$Ce_{18}Y_{18}Ni_{31}Sb_{32}Bi_3$	NaCl	0.6320(2)						
(6Q/62 CYNSbBi4)	0.23	$Ce_{26}Y_{26}Sb_{46}Bi_4$	<i>x</i>							
		$Ce_{15}Y_8Ni_{44}Sb_{30}Bi_3$								

Таблица 4. Фазовый состав, структура, параметры решетки и кинетические свойства систем Mg—Ce—Ni и Mg—Sm—Ni

Сплав (образец)	Доля по массе	Фаза	Структура	a	c	S	ρ	κ	WF	ZT
Ce ₂ MgNi ₂ HP (7Q/1127T)	1.00	Ce ₄₁ Mg ₂₀ Ni ₃₉	Mo ₂ FeB ₂	0.7579(3)	0.3760(1)	-22.5	0.46	8.6	0.54	0.038
CeYMgNi ₂ HP (8Q/1323T)	~0.80	Ce ₁₅ Y ₂₅ Mg ₂₀ Ni ₄₀ Ce ₁₃ Y ₆ Mg ₁₅ Ni ₆₆ Ce ₂₅ Y ₂₃ Mg ₃ Ni ₄₉ Ce ₁₉ Y ₃ Mg ₃₃ Ni ₂₅	Mo ₂ FeB ₂ AuBe ₅ CrB x	0.7490(3)	0.3700(2)	-16.85	0.91	13.3	1.65	0.007
Sm ₂ MgNi ₂ HP (8Q/133334T)	~0.90	Sm ₄₀ Mg ₂₁ Ni ₃₉ Sm ₄₆ Mg ₁₀ Ni ₄₄ Sm ₁₇ Mg ₆₄ Ni ₁₉	Mo ₂ FeB ₂ x x	0.7470(4)	0.3758(3)	2.37	0.80	18.9	2.06	1.1×10^{-4}
SmYMgNi ₂ HP (8Q/13538T)	~0.70	Sm ₃₁ Y ₉ Mg ₂₁ Ni ₃₈ Sm ₂₉ Y ₆ Mg ₂ Ni ₆₄ Y ₈₀ Ni ₂₀ Sm ₁₃ Y ₂ Mg ₆₃ Ni ₂₃	Mo ₂ FeB ₂ AuBe ₅ x x	0.7436(5)	0.3741(3)	-0.42	0.76	16.1	1.66	4.2×10^{-6}
Ce _{1.5} Mg _{1.5} Ni ₉ (4Q/N160 CMgN1A)	0.56 0.07 0.37	Ce ₁₉ Mg ₁₃ Ni ₆₈ Ce ₁₉ Ni ₈₀ Ce ₁₉ Ni ₈₀	AuBe ₅ Ce ₂ Ni ₇ CaCu ₅	0.7005(2) 0.4891(3) 0.4892(15)	2.391(1) 0.4002(8)	-24.0	0.51	16	1.1	0.021
Ce _{2.5} Mg _{0.5} Ni ₉ (3Q/N91 MgN3)	0.42 0.05 0.50	Ce ₁₉ Mg ₁₂ Ni ₆₈ Ce ₂₀ Ni ₈₀ Ce ₂₀ Ni ₈₀	AuBe ₅ Ce ₂ Ni ₇ CaCu ₅	0.6992(2) 0.4950(8) 0.4887(3)	2.423(3) 0.3998(2)	-18.0	0.65	33.0	2.9	4.5×10^{-3}
Ce ₁₉ Mg ₁₂ Ni ₆₉ (4Q/N161 CMgN1B)		Ce ₁₉ Mg ₁₃ Ni ₆₇ Ce ₁₅ Mg ₁₀ Ni ₇₅	AuBe ₅ x	0.7064(5)		27.2	2.63	12.5	4.5	6.8×10^{-3}
Ce _{0.5} Mg _{0.5} Ni ₂ HP (6Q/N73 17E)		Ce ₁₈ Mg ₁₅ Ni ₆₉ Ce ₁₇ Ni ₈₃	AuBe ₅ CaCu ₅	0.70075(6)		-29.4	0.88	14.0	1.68	0.021

Таблица 4. Окончание

Сплав (образец)	Доля по массе	Фаза	Структура	α	c	S	ρ	κ	WF	ZT
$Ce_{0.5}Mg_{0.5}Ni_2$ (6Q/N70 CMgN22)		$Ce_{18}Mg_{13}Ni_{69}$ $Ce_{18}Mg_6Ni_{76}$ $Ce_{17}Ni_{80}$	AuBe ₅ PuNi ₃ CaCu ₅	0.70085(9)		-33.6	1.00	12.3	1.68	0.028
$Ce_{0.5}Mg_{0.5}Ni_2$ HP (6Q/N71 CMgN22–25A)		$Ce_{18}Mg_{11}Ni_{70}$ $Ce_{20}Mg_4Ni_{76}$ $Ce_{19}Mg_2Ni_{79}$ $Ce_{26}Mg_{19}Ni_{55}$	AuBe ₅ PuNi ₃ x	0.69961(9)		-35.6	1.07	11.7	1.71	0.030
$Ce_{0.5}Mg_{0.5}Ni_2$ HP (6Q/N75 18H–13B)		$Ce_{21}Mg_{12}Ni_{67}$ $Ce_{48}Mg_{50}$ $Mg_{33}Ni_{67}$ $Ce_{17}Ni_{82}$	AuBe ₅ CsCl MgNi ₂ CaCu ₅	0.7032(2)		-4.5	1.44	10.0	1.96	4.2×10^{-4}
$Ce_{0.5}Y_{0.5}MgNi_4$ (8Q/N138 43T)	~0.80	$Ce_8Y_8Mg_{18}Ni_{66}$ $Ce_2Y_2Mg_{29}Ni_{68}$ $Ce_6Y_7Mg_{13}Ni_{74}$	AuBe ₅ MgNi ₂ CeNi ₃	0.7010(2)		-10.2	1.12	10.95	1.66	2.6×10^{-3}
$Ce_{0.5}Mg_{0.5}CoNi$ (7Q/108 3T)	~1.0	$Ce_{19}Mg_{16}Ni_{47}Co_{0.19}$ Co_{99} $Ce_{36}Co_{63}$ $Ce_{10}Mg_{74}Ni_{14}$	AuBe ₅ Mg MgCu ₂ mf	0.7050(1)		4.45	0.76	16.0	1.66	4.9×10^{-4}
$CeMg_2Ni_9$ HP (6Q/N78 15E)	0.70 0.20 0.10	$Ce_9Mg_{16}Ni_{76}$ $Ce_{15}Mg_2Ni_{84}$ Ni_{199} $Ce_7Mg_{28}Ni_{65}$	PuNi ₃ CaCu ₅ Cu x	0.4861(1) 0.4872(2) 0.3534(3)	2.3845(4) 0.4019(1)	3.68	0.62	17.4	1.47	3.8×10^{-4}
$CeMg_2Ni_9$ HP (6Q/N79 19H–11B)	0.38 0.52 0.10	$Mg_{24}Ni_{75}$ $Ce_{17}Ni_{83}$ Ni_{199}	MgNi ₂ CaCu ₅ Cu	0.4824(2) 0.4886(1) 0.3536(3)	1.5829(8) 0.4002(1)	6.3	0.54	21.5	1.58	1.0×10^{-3}

Рис. 1. Температурные зависимости электросопротивления и термоэдс для CeSi₂.Рис. 2. Температурные зависимости электросопротивления и термоэдс для CeYMGNi₂.

в. Внедрение небольшого количества других атомов в элементарную ячейку без упорядочения (неупорядоченное внедрение атомов без изменения симметрии элементарной ячейки) приводит к уменьшению термоэдс и снижению сопротивления.

г. Замена атомов без упорядочения в элементарной ячейке приводит к уменьшению термоэдс и сопротивления.

д. Замена атомов с упорядочением в элементарной ячейке приводит к увеличению термоэдс и сопротивления.

Максимальные значения ZT для представленных систем (которые показаны в таблицах жирным шрифтом) составляют около 7%.

Наиболее информативными для характеристики электронной структуры являются не абсолютные значения, а температурные зависимости термоэдс и сопротивления, показанные на рис. 1–8 (поскольку теплопроводность в данном интервале зависит от температуры слабо, соответствующих графиков мы не приводим).

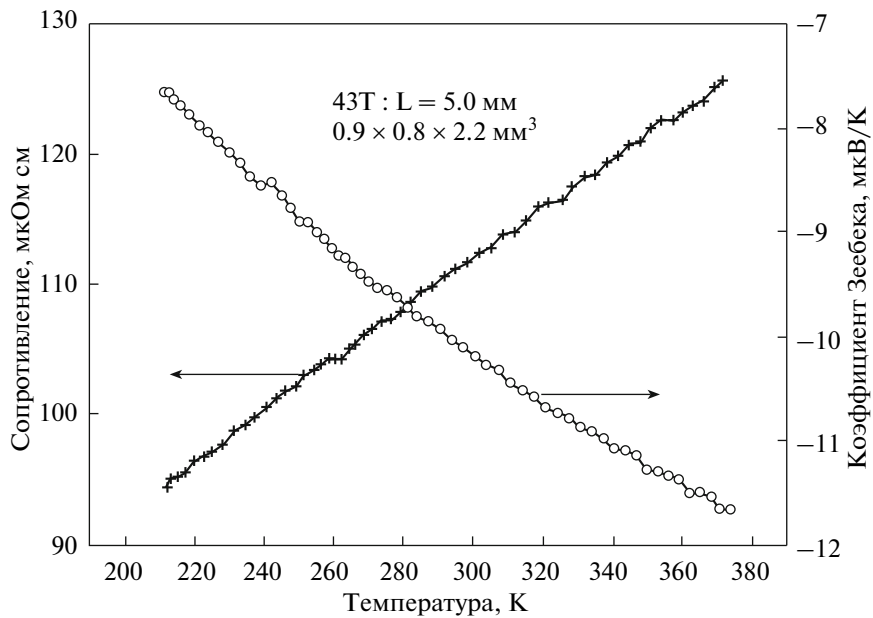


Рис. 3. Температурные зависимости электросопротивления и термоэдс для $\text{Ce}_{0.5}\text{Y}_{0.5}\text{MgNi}_4$.

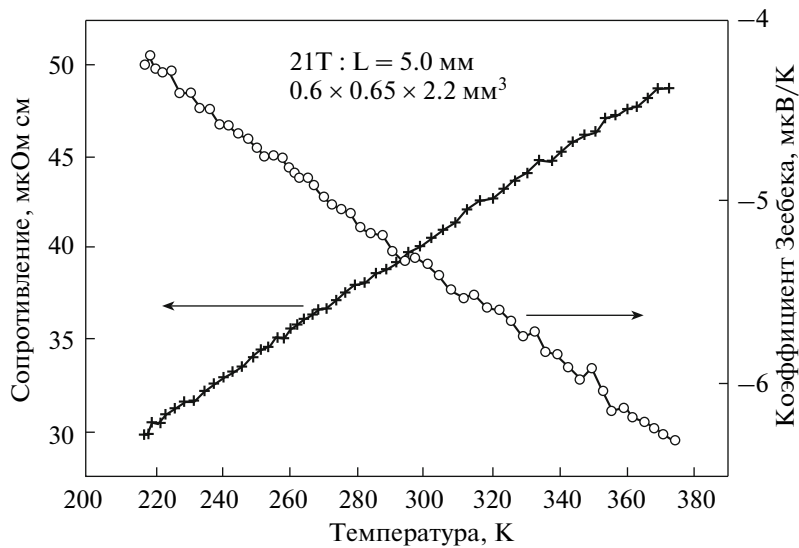


Рис. 4. Температурные зависимости электросопротивления и термоэдс для SmZn.

Согласно формуле Мотта, диффузионная термоэдс определяется выражением

$$S(T) = \frac{\pi^2 k_B^2}{3|e|} \frac{d}{dE} \ln N(E) \Big|_{E=E_F} \quad (1)$$

(e – заряд электрона). Таким образом, производная плотности состояний $dN(E)/dE$ на уровне Ферми определяет как знак, так и абсолютное значение термоэдс, которое возрастает в случае резкой энергетической зависимости $N(E)$. Такая зависимость (часто в сочетании с заметной температурной зависимостью плотности состояний),

обусловленная вкладом f -состояний, имеет место в аномальных редкоземельных системах – решетках Кондо, соединениях с тяжелыми фермионами и с промежуточной валентностью.

Из представленных данных можно видеть, что кондовские системы, такие как CeSi_2 или $\text{Ce}_{1-x}\text{Y}_x\text{NiSb}$, действительно демонстрируют большие значения коэффициента Зеебека, а также сильные температурные зависимости сопротивления и термоэдс.

Остановимся на особенностях поведения термоэдс в кондовских системах. На основе $s-d$ -об-

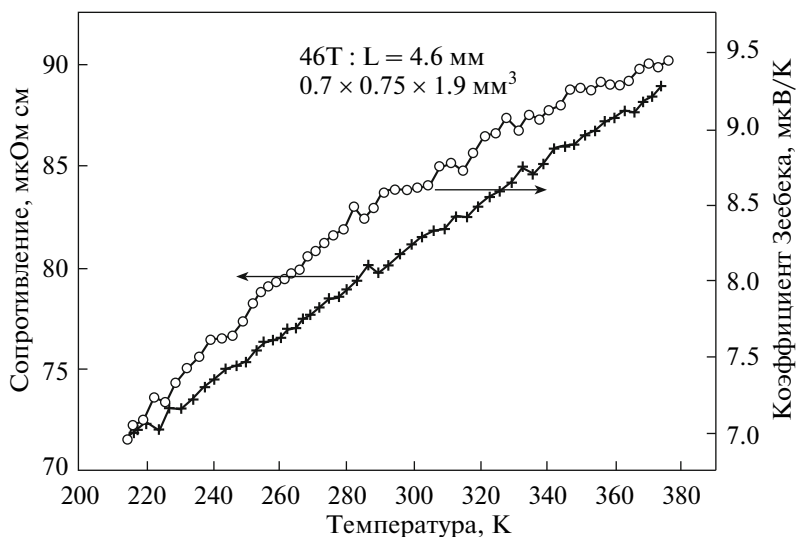


Рис. 5. Температурные зависимости электросопротивления и термоэдс для Sm₃Zn₂Co₃.

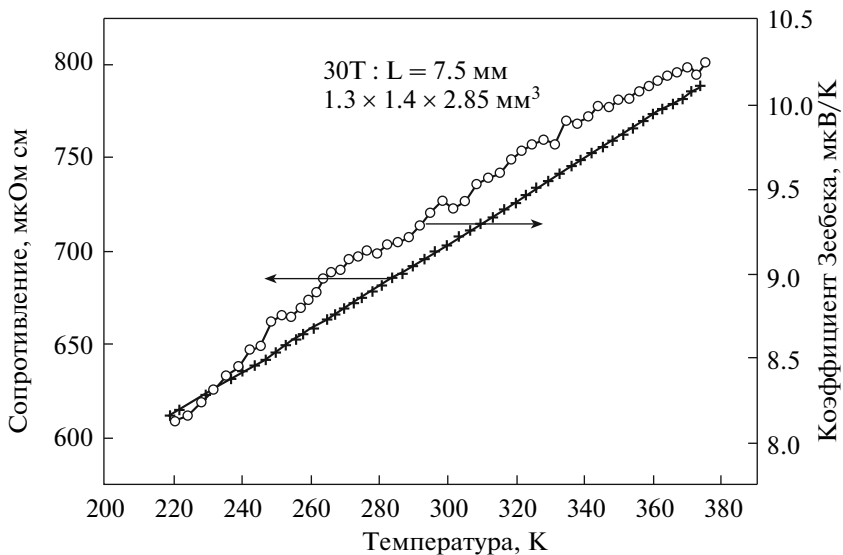


Рис. 6. Температурные зависимости электросопротивления и термоэдс для Sm₂ZnTe.

менной модели для разбавленных магнитных сплавов Кондо рассчитал вероятность рассеяния электронов проводимости во втором борновском приближении [10]. Эффект Кондо приводит к сингулярному вкладу в сопротивление, пропорциональному $cJ^3\ln T$, где c – концентрация примесных атомов, J – $s-d(f)$ обменный интеграл. В сочетании с обычным решеточным сопротивлением, это приводит к минимуму сопротивления (при условии, что J является отрицательным) и большой термоэдс [10,11].

Для случая кондо-решетки [12, 13] можно различить два режима:

а. Режим теории возмущений $T > T_K$. Поправка Кондо к собственной энергии электрона $\Sigma(E)$ (или T -матрице электронов проводимости) пропорциональна $J^3\ln E$. Большой кондовский вклад в термоэдс соответствует аномальному (нечетному) вкладу в скорость релаксации $\tau^{-1}(E)$ [10], который должен возникать, в силу аналитических свойств $\Sigma(E)$, из логарифмической особенности в $\text{Re}\Sigma(E)$ [14]. Хотя эта особенность отсутствует в обычной проблеме Кондо, она возникает в присутствие потенциального рассеяния V , которое приводит к появлению комплексных множителей $1 + V\Sigma_k(E - t_k + i0)^{-1}$ (t_k – электронный энергетический спектр), которые “перемешивают” $\text{Im}\Sigma$ и

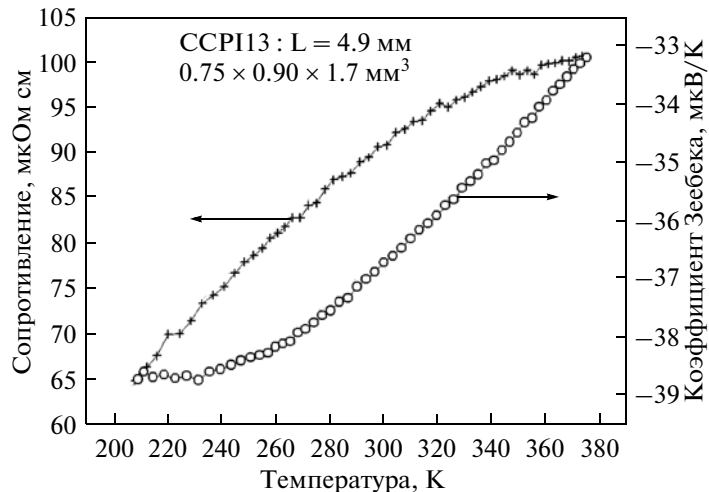


Рис. 7. Температурные зависимости электросопротивления и термоэдс для $\text{CeCo}_{0.8}\text{Cu}_{0.2}\text{Si}_3$.

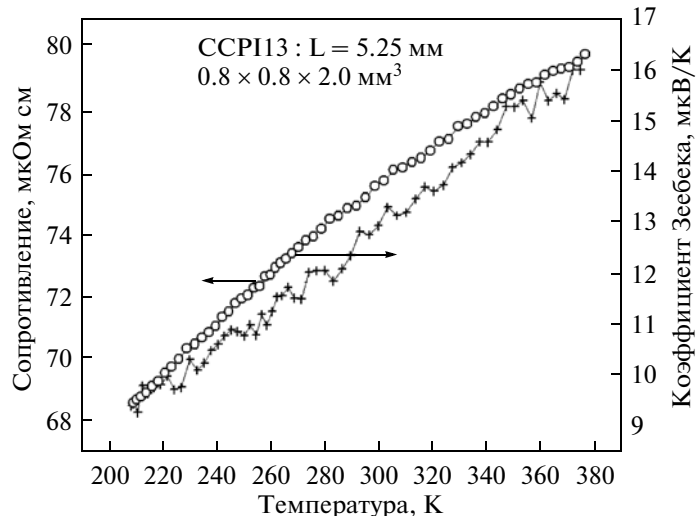


Рис. 8. Температурные зависимости электросопротивления и термоэдс для $\text{Ce}_{0.05}\text{La}_{0.95}\text{Co}_{10}\text{Fe}_2\text{Si}$.

$\text{Re}\Sigma$ в некогерентном режиме. При наличии взаимодействия между магнитными моментами (в решетке) эффекты спиновой динамики приводят к замене

$$\begin{aligned} \ln|E| &\rightarrow (1/2)\ln(E^2 + \omega^2), \\ \text{sign}E &\rightarrow (2/\pi) \arctg(E/\omega), \end{aligned} \quad (2)$$

в $\text{Im}\Sigma$ и $\text{Re}\Sigma$ соответственно (ω – характерная частота спиновых флюктуаций, которая играет роль эффективного флюктуирующего магнитного поля). Тогда аномальный вклад в термоэдс имеет вид

$$\delta S(T) \sim e\rho(T)T/\max\{T, \omega\} \quad (3)$$

($\rho(T)$ – сопротивление). Таким образом, имеет место переход от линейной зависимости $S(T)$ к большому, не зависящему от температуры вкладу.

В реальных концентрированных кондо-системах зависимость $S(T)$ при умеренно высоких (по сравнению с T_K) температурах, как правило, велика и имеет экстремум. Соответственно общему знаку термоэдс, этот экстремум проявляется как максимум (при $S > 0$) или минимум (при $S < 0$). Для четкого выделения таких зависимостей в наших системах требуются измерения в более широком температурном интервале.

6. Низкотемпературный режим $T < T_K$, который может реализоваться в случае систем с высокими T_K . Кроме температуры Кондо здесь вводится вторая шкала энергий – температура когерентности T_{coh} , которая соответствует возникновению когерентного кондо-рассеяния на различных узлах решетки и, как правило, мала по сравнению с T_K .

Картина образования когерентного состояния позволяет рассматривать экспериментальные данные по низкотемпературной аномалии термоэдс в системах с тяжелыми фермионами [12, 13]. При уменьшении T ниже рассмотренного высокотемпературного экстремума $S(T)$ часто меняет знак, снова имеет экстремум и линейно обращается в нуль при $T \rightarrow 0$. Такое поведение, согласно (1), может быть связано с изменением знака производной плотности состояний на уровне Ферми (например, вследствие формирования кондовской щели или псевдощели).

Для наблюдения подобных особенностей $S(T)$ в исследованных нами системах также требуются измерения при более низких температурах. Рассмотренная система $\text{Ce}_{1-x}\text{Y}_x\text{NiSb}$, вероятно, близка к такому поведению (в частности, низкотемпературная кондовская энергетическая щель возникает в близких системах CeRhSb и CeNiSn), однако для CeNiSb наблюдается лишь небольшой минимум сопротивления, характерный для решеток Кондо [15]. Высокое значение термоэдс в $\text{Yb}_{0.25}\text{Y}_{0.75}\text{NiSb}$ (табл. 3) по-видимому связано с тем, что соединение YbNiSb характеризуется как тяжелофермионная система с малой концентрацией носителей тока [16].

Аналогом систем с высокими T_K (порядка сотен К) являются соединения с промежуточной валентностью, где зоны электронов проводимости перекрываются с f -состояниями и наблюдаются сильные спиновые и зарядовые флуктуации. Примером перспективного термоэлектрического материала является система с промежуточной валентностью YbAl_3 . Она позволяет получить очень высокие значения термоэдс порядка 100 $\mu\text{V/K}$ при комнатной температуре, хотя ее использованию препятствует высокая теплопроводность [17]. Как видно из наших результатов (табл. 4), большие значения S наблюдаются в сплавах на основе классической системы с промежуточной валентностью CeNi .

С этой точки зрения особенно интересны результаты по соединению CeCoSi_3 и сплавам на его основе (табл. 1 и рис. 7), которые, как и классическая кондо-система CeSi_2 , демонстрируют большие значения и сильные температурные зависимости термоэдс. Согласно недавней работе [18], по данным эффекта де Гааза – ван Альфена это соединение с промежуточной валентностью имеет электронные зоны с тяжелой массой и возможной коллективизацией f -состояний (как в решетках Кондо).

Что касается сплавов на основе самария (табл. 3, рис. 4–6), то природа их основного состояния требует дальнейшего изучения (в частности, возможно влияние кристаллического по-

ля). Отметим только, что системы типа SmZn проявляют аномальный магнетизм [19].

Хотя значения параметра термоэлектрической добротности ZT , полученные для исследованных нами редкоземельных соединений, пока не слишком велики, они являются перспективными материалами. Существует ряд путей улучшить их характеристики. В частности, возможно улучшение термоэлектрических свойств при более высоких температурах (см., напр., [5, 20]). Тем самым, полезны дальнейшие экспериментальные исследования в этом направлении.

Авторы выражают благодарность профессору А.И. Инюшкину за помощь и поддержку в проведении экспериментов. Работа частично поддержана проектом ISTC N 2382p (Kasei Corporation, Япония) и грантами УрО РАН “Сильно коррелированные электроны в твердых телах” (12-Т-2-1001) и Президиума РАН “Квантовые мезоскопические и неупорядоченные структуры” (12-П-2-1041).

СПИСОК ЛИТЕРАТУРЫ

1. Дмитриев А.В., Звягин И.П. Современные тенденции развития физики термоэлектрических материалов // УФН. 2010. V. 180 (8). P. 821–838.
2. Rosenberg H. The Solid State. Oxford University Press, 2004.
3. Minnich A.J., Dresselhaus M.S., Ren Z.F., Chen G. Bulk nanostructured thermoelectric materials: current research and future prospects, Energy & Environmental Science. 2009. V. 2. P. 466–479; Pichanusakorn P., Bandaru P. Nanostructured thermoelectrics, Materials Science and Engineering: R: Reports, Volume 67, Issues 2–4, 29 January 2010. P. 19–63
4. Nolas G.S., Slack G.A., Morelli D.T., Tritt T.M., Ehrlich A.C. The effect of rare-earth filling on the lattice thermal conductivity of skutterudites // J. Appl. Phys. 1996. V. 79. 4002.
5. Morozkin A.V., Irkhin V.Yu., Nikiforov V.N. Thermo-electric properties of $\text{Pr}_3\text{Rh}_4\text{Sn}_{13}$ -type $\text{Yb}_3\text{Co}_4\text{Ge}_{13}$ and $\text{Yb}_3\text{Co}_4\text{Sn}_{13}$ compounds // Journal of Alloys and Compounds. 2013. V. 549. P. 121–125.
6. Bauer E., Berger S., Paul C., Michor H., Grytsiv A., Rogl P.: Effect of ionic valence and electronic correlations on the thermoelectric power in some filled skutterudites // Physica B. 2003. V. 328. S. 49–52.
7. Grenzebach C., Anders F. B., Czycholl G., Pruschke T. Transport properties of heavy-fermion systems // Phys. Rev. B. 2006. V. 74. 195119.
8. Properties and Applications of Thermoelectric Materials, Ed. Zlatic V. and Hewson A.C., Springer: New York, 2009.
9. Takabatake T., Sasakawa T., Kitagawa J., Suemitsu T., Echizen Y., Umeo K., Sera M., Bando Y. Thermoelectric properties of Ce based Kondo semimetals and semiconductors // Physica B. 2003. V. 328. P. 53–57.
10. Kondo J. Theory of Dilute Magnetic Alloys, In: Solid State Physics, vol. 23, ed. F. Seitz and D. Turnbull, New York, Academic Press, 1969, p. 183

11. *Kondo J.* Giant Thermo-Electric Power of Dilute Magnetic Alloys // Progr. Theor. Phys. 1965. V. 34. P. 372–382.
12. *Ирхин В.Ю., Кацнельсон М.И.* Проблема кондовых магнетиков // ФММ. 1991. № 1. С. 16–33
13. *Ирхин В.Ю., Ирхин Ю.П.* Электронная структура, физические свойства и корреляционные эффекты в *d*- и *f*-металлах и их соединениях. Екатеринбург: УрО РАН. 2004. 472 с.
14. *Irkhin V.Yu., Katsnelson M.I.* Kondo effect, spin dynamics and magnetism in anomalous rare earth and actinide compounds // Z. Phys. B. 1989. V. 75. P. 67–76.
15. *Menon L., Malik S.K.* Ferromagnetic Kondo lattice behavior in CeNiSb // Phys. Rev. B. 1995. V. 52. P. 35–38.
16. *Dhar S.K., Gschneidner K.A. Jr., Vijayaraghavan R.* YbNiSb – a possible heavy-fermion compound // Physica B. 1993. V. 186–188. P. 463–465.
17. *Mahan, G.D.* Good thermoelectrics. In: Solid State Physics, Vol 51, Academic Press Inc: San Diego, 1998; Vol. 51, p. 81–157.
18. *Iida H., Kadota Y., Kogure M., Sugawara T., Aoki H., Kimura N.* Fermi Surface Properties and Antisymmetric Spin–Orbit Coupling in Noncentrosymmetric CeCoSi₃ // J. Phys. Soc. Jpn. 2011. V. 80. 083701
19. *Givord D., Morin P., Schmitt D.* Antiparallel polarization of the conduction band with magnitude exceeding the 4f moment in ferromagnetic SmZn // Journal of Magnetism and Magnetic Materials. 1980. V. 15–18. Part 1. P. 525–526.
20. *Ballikaya S., Uzar N., Yildirim S., Salvador J.R., Uher C.* High thermoelectric performance of In, Yb, Ce multiple filled CoSb₃ based skutterudite compounds // J. of Solid State Chemistry. 2012. V. 193. P. 31–35.